

Fig. 1-II Modelo DHI/MIKE21-BW
 Batimetria – Situação de Referência

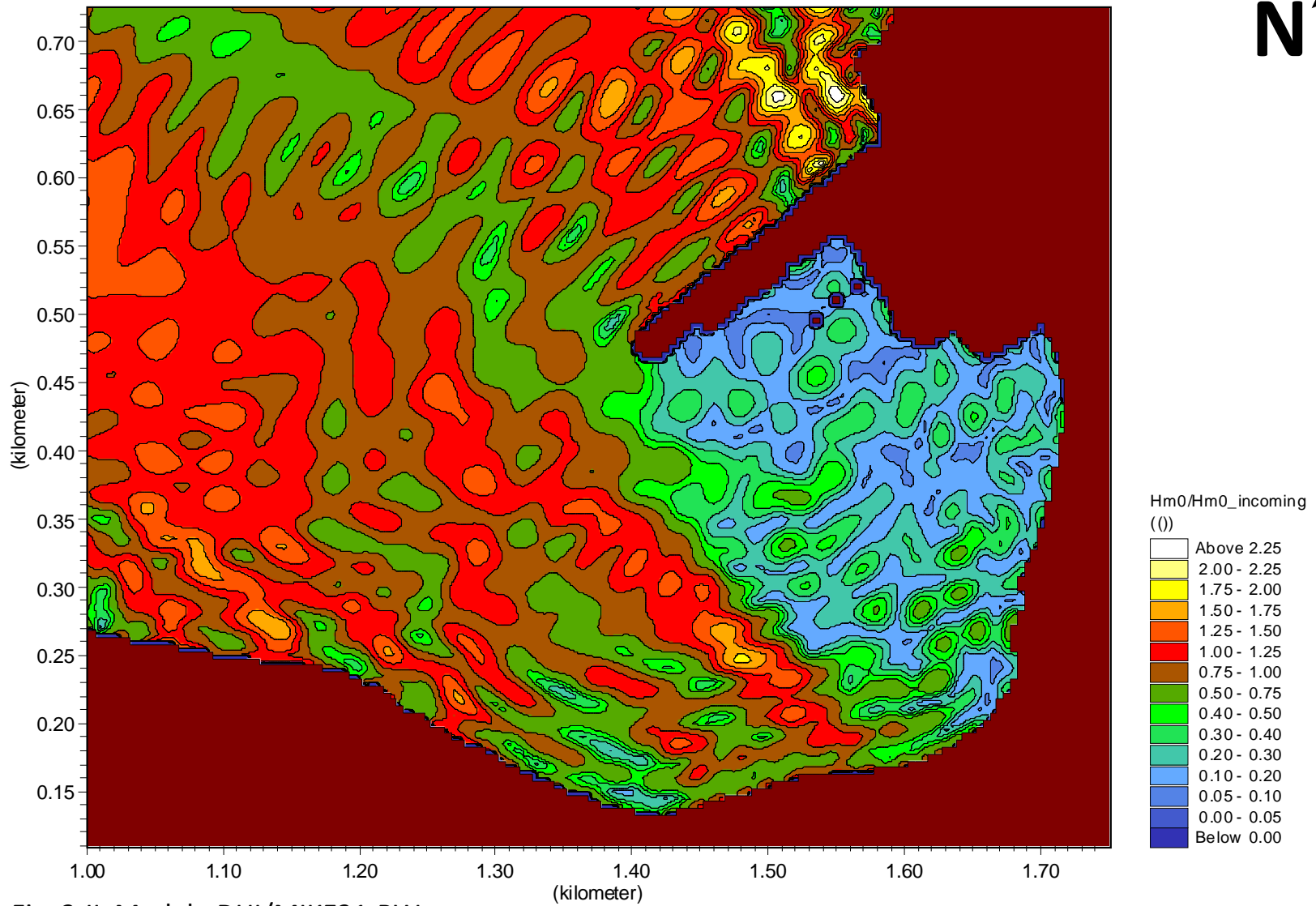


Fig. 2-II Modelo DHI/MIKE21-BW

Índice de Agitação no Porto de Pesca de Rabo de Peixe – Referência

Condição de fronteira $H=1m$; $T=8s$, Rumo= $N30W$; $H_{maré}=1m$, Malha $5 \times 5m$

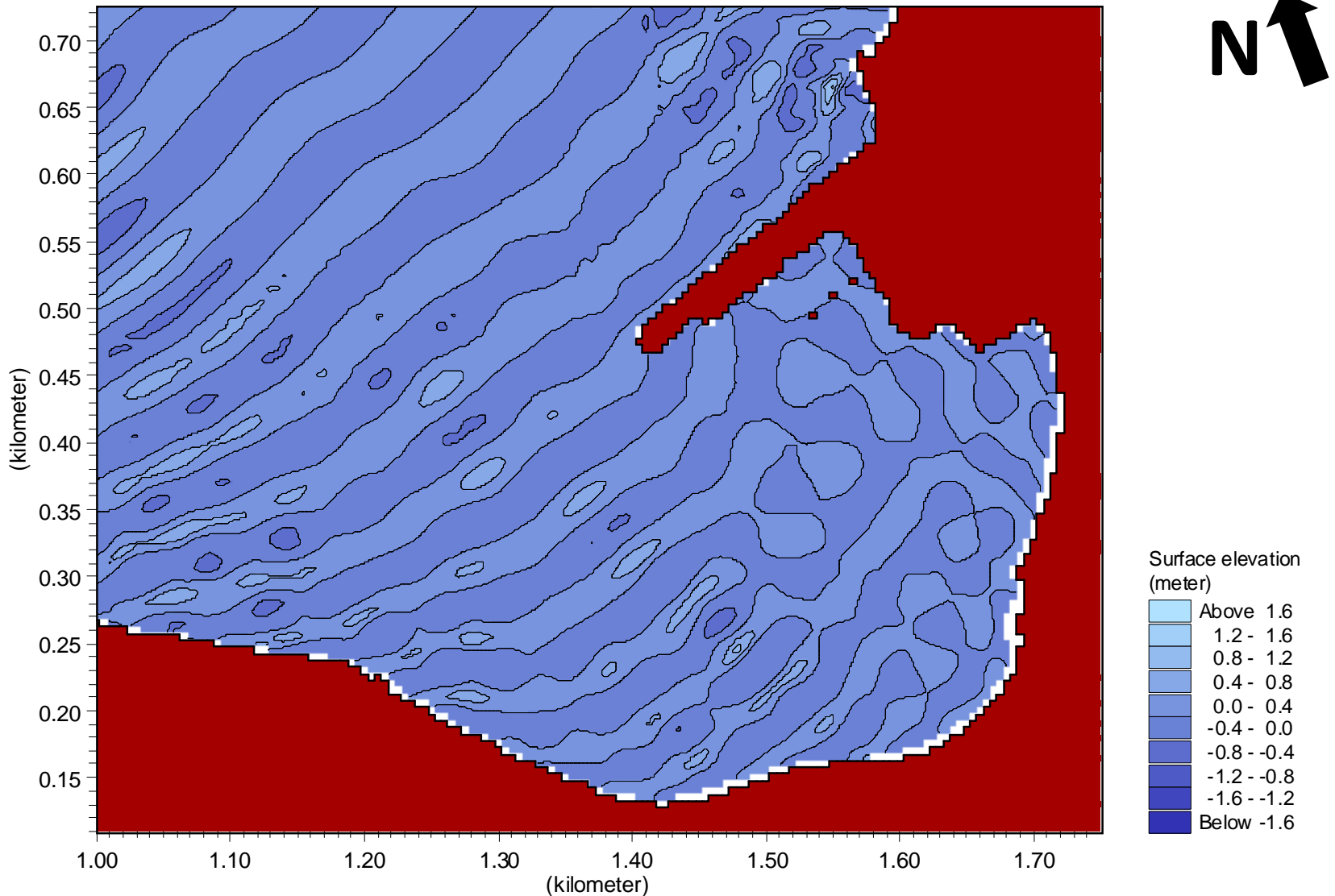


Fig. 3-II Modelo DHI/MIKE21-BW

Sobreelevação da Superfície Livre no Porto de Pesca de Rabo de Peixe – Referência

Condição de fronteira $H=1m$; $T=8s$, Rumo= $N30W$; $H_{maré}=1m$, Malha $5 \times 5m$

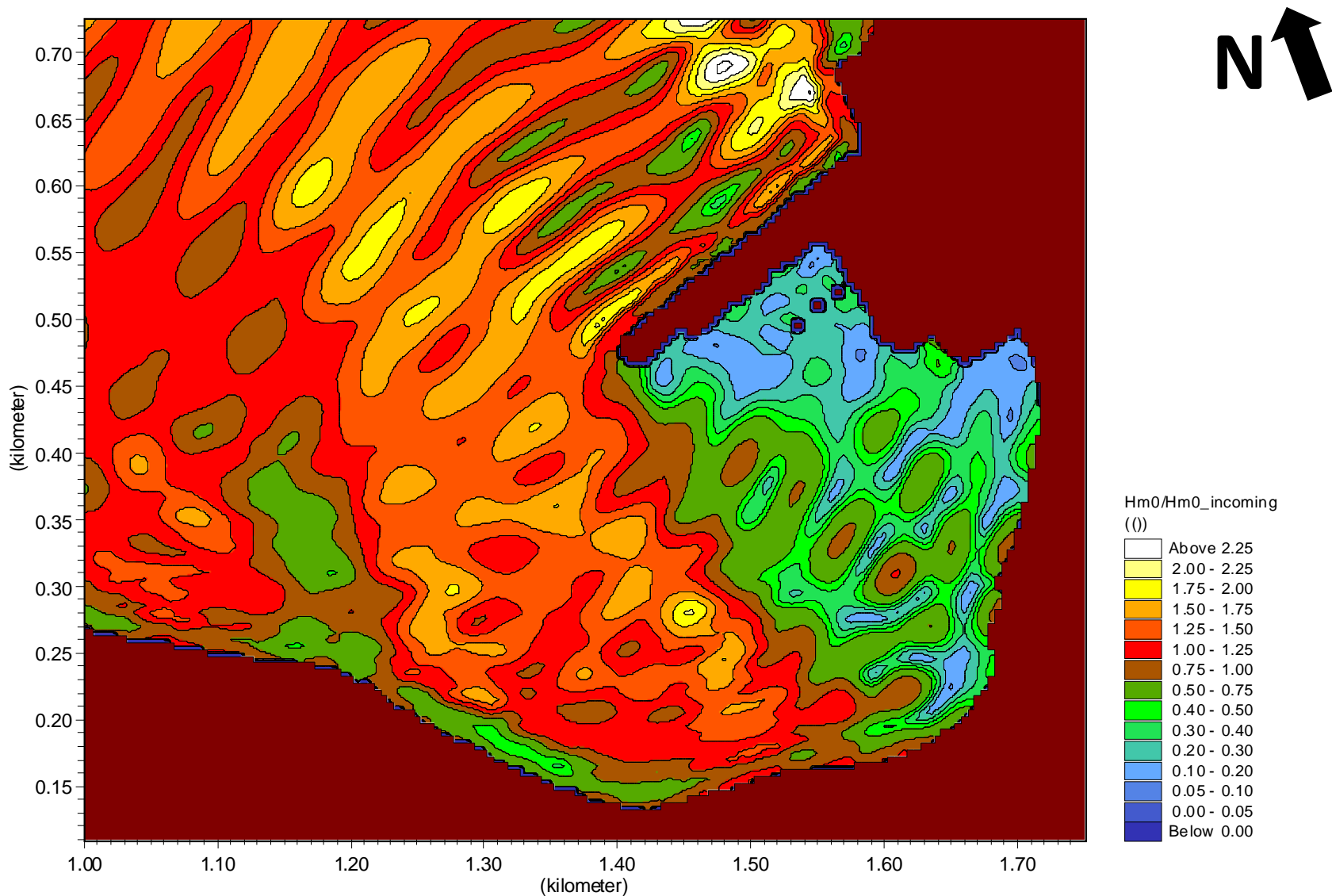


Fig. 4-II Modelo DHI/MIKE21-BW

Índice de Agitação no Porto de Pesca de Rabo de Peixe – Referência

Condição de fronteira $H=1m$; $T=12s$, Rumo= $N30W$; $Hmaré=1m$, Malha $5 \times 5m$

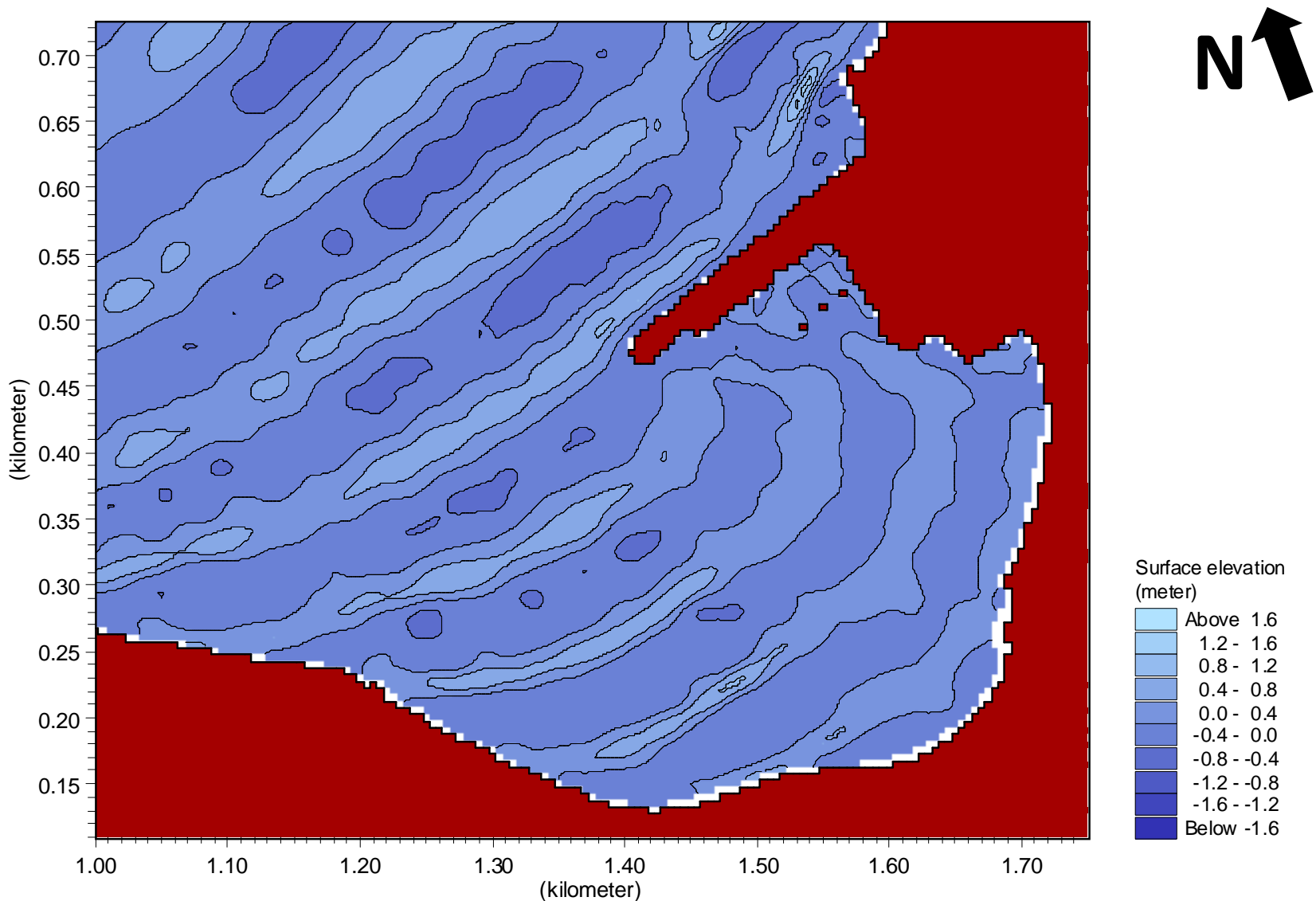


Fig. 5-II Modelo DHI/MIKE21-BW

Sobreelevação da Superfície Livre no Porto de Pesca de Rabo de Peixe – Referência
 Condição de fronteira H=1m; T=12s, Rumo=N30W; Hmaré=1m, Malha 5x5m

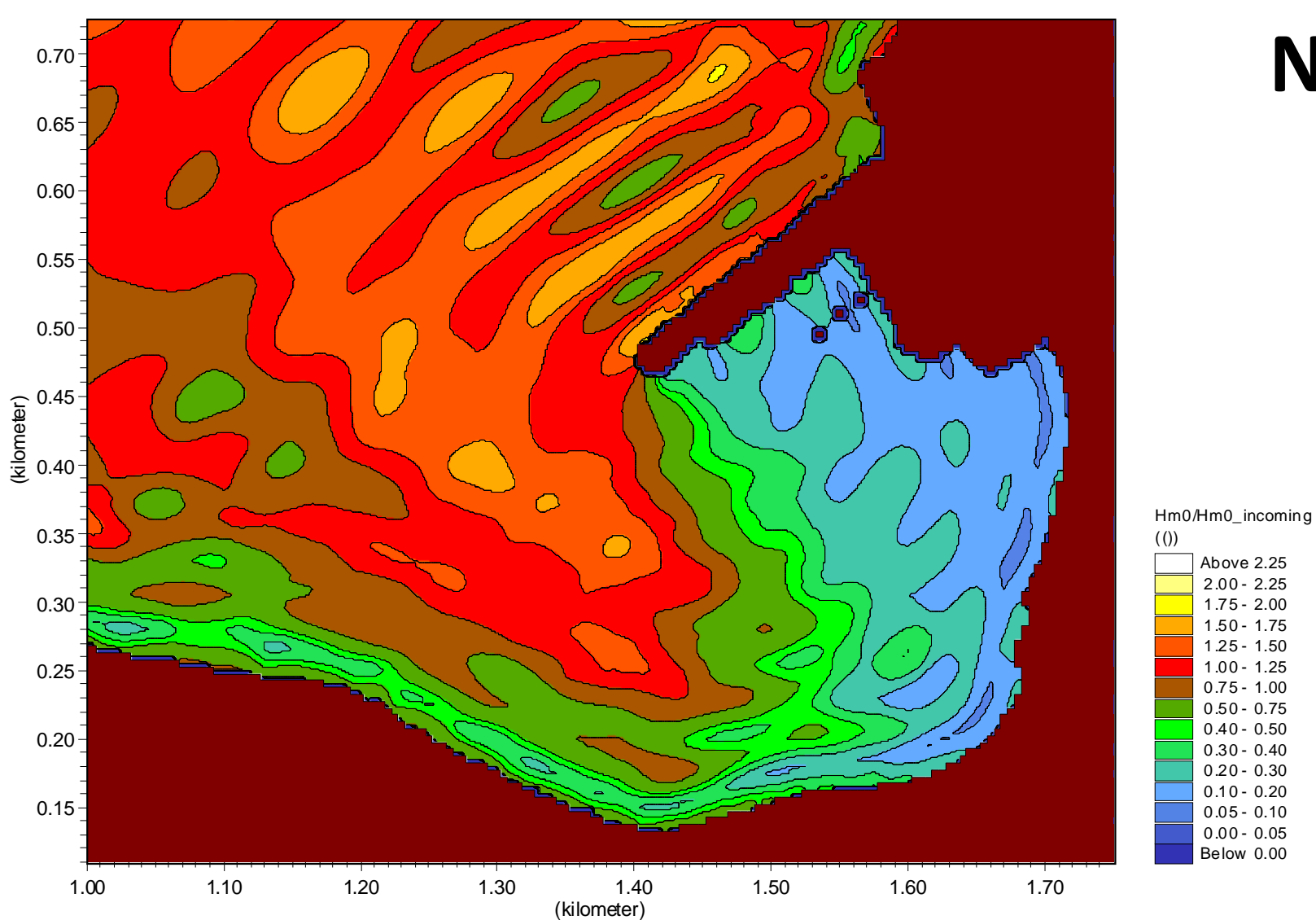


Fig. 6-II Modelo DHI/MIKE21-BW com rebentação
 Índice de Agitação no Porto de Pesca de Rabo de Peixe – Referência
 Condição de fronteira $H=3m$; $T=14s$, Rumo= $N30W$; $H_{maré}=1m$, Malha $5 \times 5m$

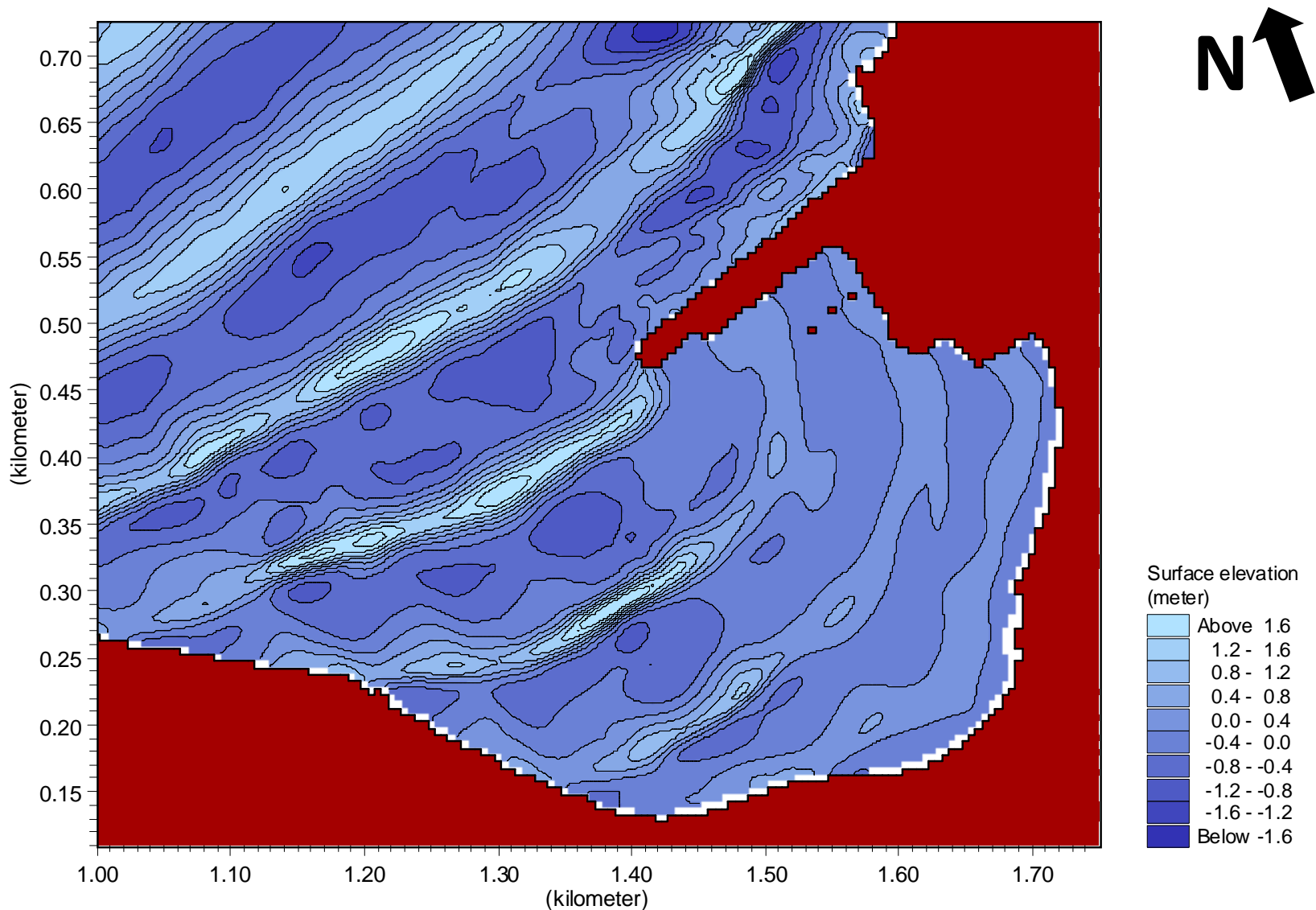


Fig. 7-II Modelo DHI/MIKE21-BW com rebentação

Sobreelevação da Superfície Livre no Porto de Pesca de Rabo de Peixe – Referência

Condição de fronteira $H=3\text{m}$; $T=14\text{s}$, Rumo= $N30W$; $H_{\text{maré}}=1\text{m}$, Malha $5 \times 5\text{m}$